



放射の反作用： 高強度レーザー電磁場中で輻射する電子模型

Radiation reaction:
radiating electron model in a high-intensity laser EM field

瀬戸慧大 (Keita Seto)

seto.keita@nifs.ac.jp

核融合科学研究所 プラズマ量子プロセスユニット

28.11.2025 NIFS 研究部セミナー

自己紹介と本日の話題



Keita Seto (NIFS)
研究部セミナー
28.11.2025
Page 2

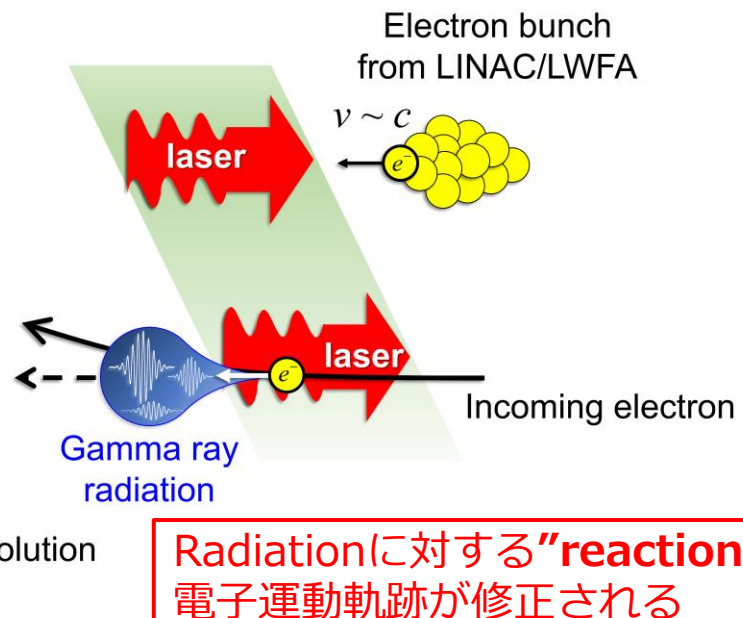
瀬戸 慧大 / せと けいた

高強度レーザーが関与する物理学の理論屋です。

■ 高強度レーザーによる電磁相互作用を研究

本日取り扱う話題

■ 放射の反作用/非線形Compton散乱



2008.04 - 2014.07

大阪大学レーザー研

- ◆ 三間・長友グループで学位取得
- 激光XII ガラスレーザー
- LFEX PW レーザー @ 3 shots/day

2014.07 – 2022.05

ELI-NP/IFIN-HH (ルーマニア)

- レーザー+核物理研究拠点
- 2×10 PW レーザー @ 0.1 Hz

2022.05 – 2025.06

JAEA 敦賀総合研究開発センター

- レーザー加工研究
- 10 kW CW ファイバーレーザー

2025.07 – 現在

NIFS PQPユニット

レーザー光と輻射電磁場

今回は電子1つと光子集団のみの系を扱う。

特に单一電子と
強い背景電磁場 = 高強度レーザー電磁場
の相互作用について議論する。

- 散乱現象への電磁場強度の依存性
などに注目してほしい。



以降は次のような章立てで議論する：

- 高強度レーザーを用いる研究領域の概略
- 放射の反作用の古典論模型
- 放射の反作用の準古典論模型
- 非線形Compton散乱
- まとめ





高強度レーザーを用いる 研究領域の概説



高強度レーザー業界の現状： 高強度レーザー施設の建設ラッシュ



Keita Seto (NIFS)
研究部セミナー
28.11.2025
Page 6

右図は高強度レーザー施設の地図。

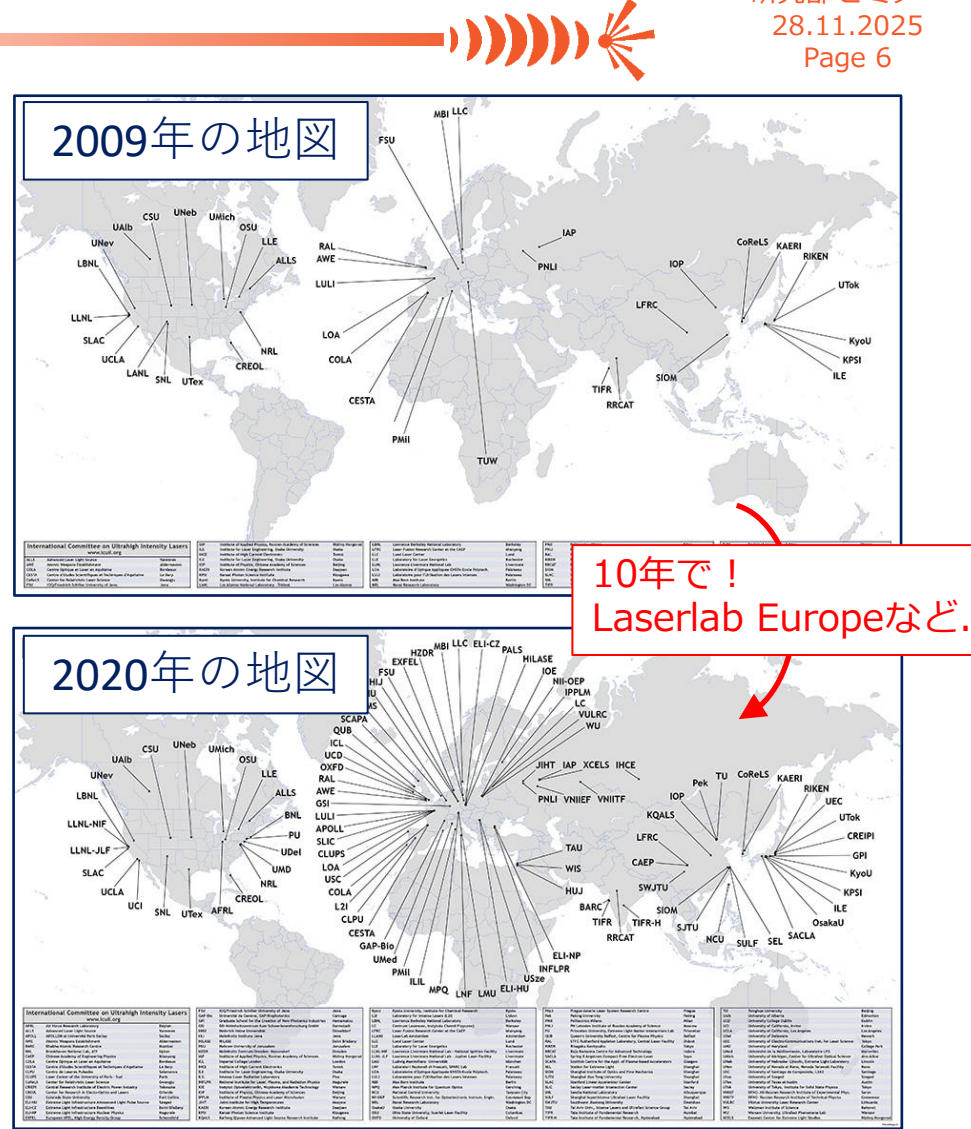
- TW級以上のパワーを持つ施設でICUIL委員会に登録されているもの。
- 欧州を中心とし、ここ10年で多数の高強度レーザーが建設された。
- 現在の最高出力は **10 PW 級**。
= (約300 J)/(パルス幅 約30 fs)

10 PWレーザー光を集光すればレーザー強度は $10^{22\sim 24} \text{ W/cm}^2$ 程度。

$$\text{(レーザー強度)} = \frac{\text{(レーザーパワー)}}{\text{(集光スポット面積)}} \\ \propto (\text{レーザー電場})^2$$

高強度レーザー→高強度電磁場による物理

□ 例えば電子を一瞬で相対論的速度に。

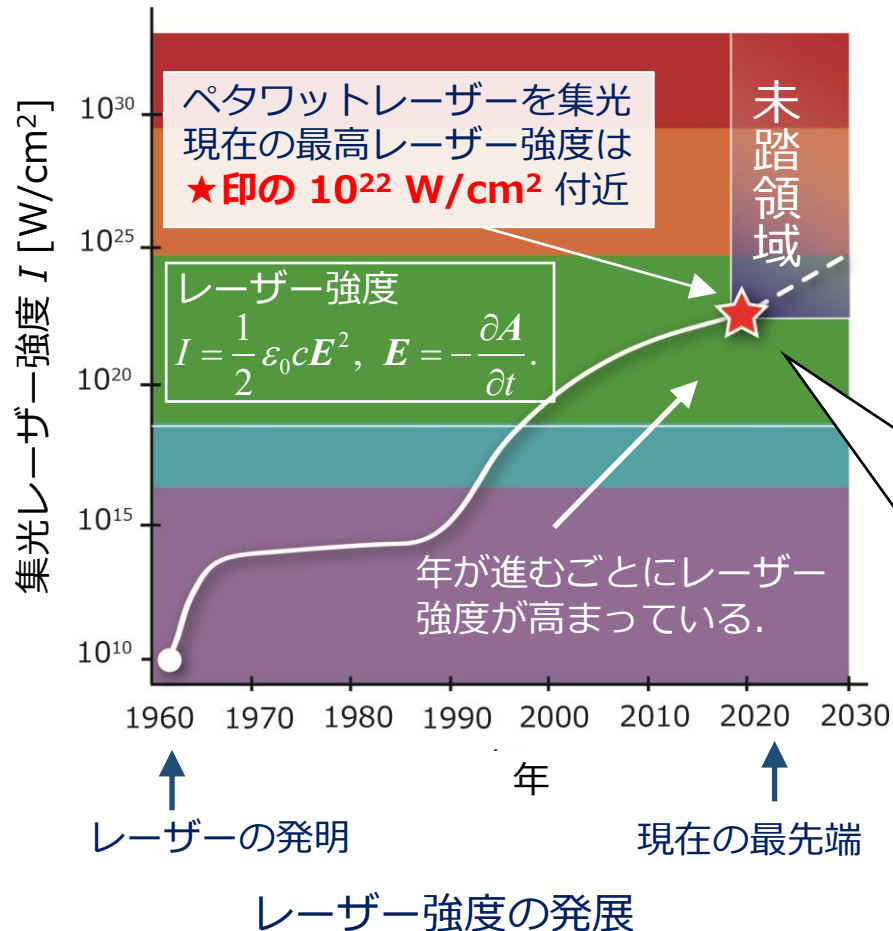


高強度レーザーを用いる研究

研究背景

ペタワット級レーザーの登場

→ 集光で高強度電磁場環境が提供可能に.



> 10^{22} W/cm² の高強度レーザーの電磁場で

- 素粒子物理
- プラズマ物理
- 電子加速
- イオン加速
- 原子核反応
- レーザー宇宙物理
- ...

などの研究が可能となる.

瀬戸は高強度レーザー電磁場による
素粒子散乱の研究に従事.

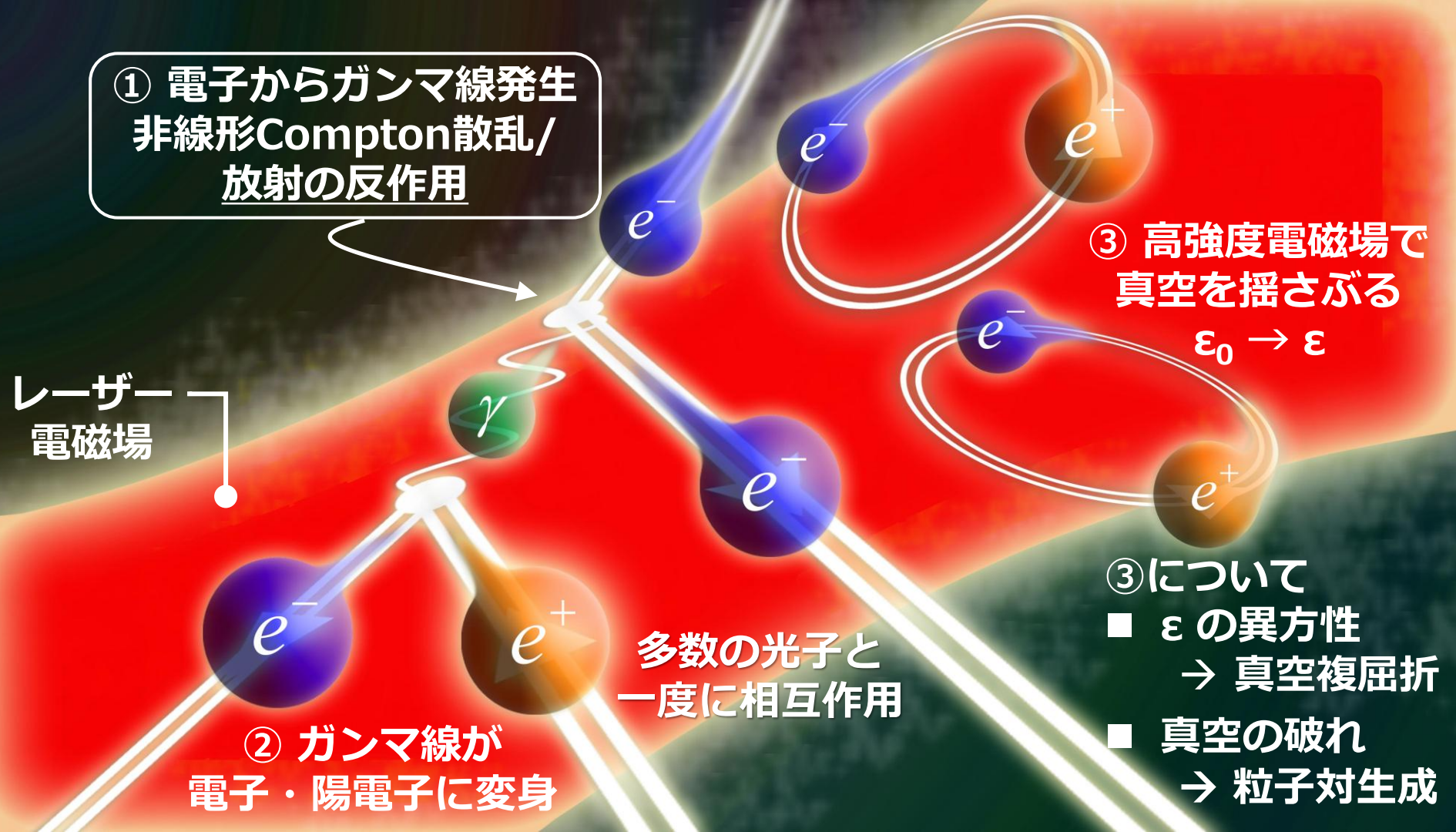
特に, 電子・陽電子・光子の
“非線形量子電磁力学 (非線形QED)”
の研究を行った.

→ 非線形・相対論的・量子論的な物理

高強度電磁場による素粒子散乱



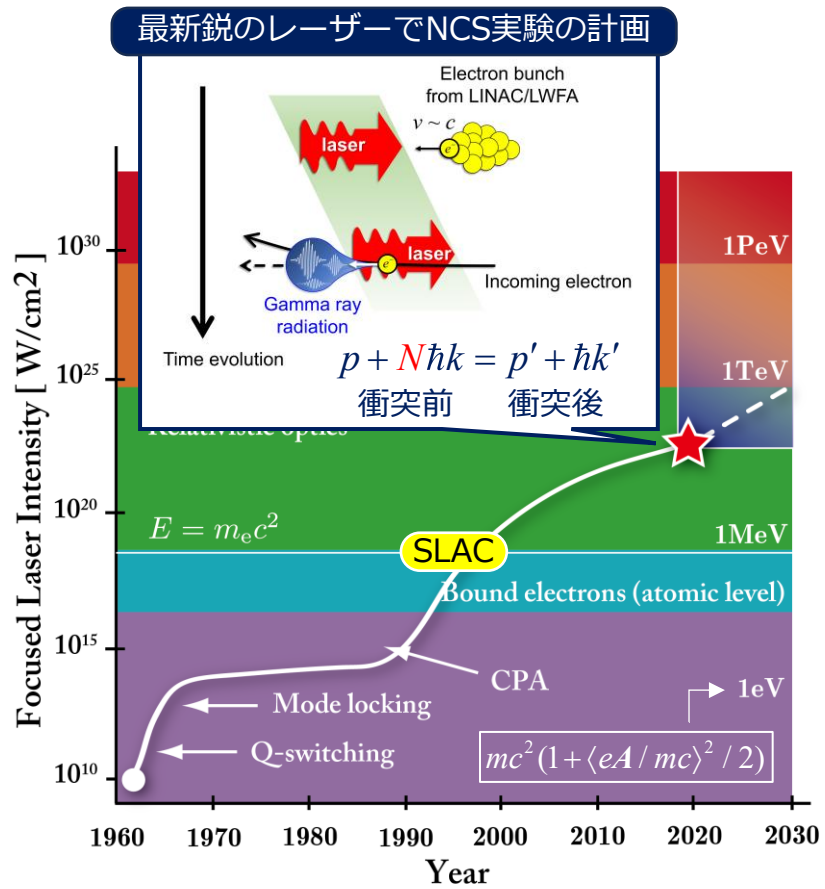
非線形QED散乱の典型例は以下のようなもの。今回は①の話をする。



放射の反作用/非線形Compton散乱の研究史



Keita Seto (NIFS)
研究部セミナー
28.11.2025
Page 9



レーザー強度の発展 (Mourou chart)

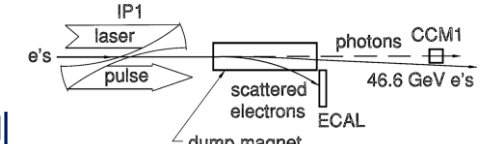
1900年ごろ～ 古典論

Lorentzの電子論 & Lorentz-Abraham eq. (1906), Lorentz-Abraham-Dirac eq. (Lorentz電子論の相対論化, 1938).

1960年代

初期の非線形Compton散乱 (NCS) の理論計算

Brown-Kibble (Phys. Rev., 1964); Nikishov-Ritus (JETP, 1963); Gol'dman (JETP, 1964).



1990-2000年

SLAC E-144実験でNCSを計測

Bamber, et al. (PRD 1990); Bula, et al. (PRL, 1996).

2000年ごろ

10²² W/cm² 級レーザー電磁場を照射された古典論的電子の放射の反作用 (古典論) 効果の理論的な予想

→ O(放射の反作用力) = O(レーザー-Lorentz力)

Zhidkov, et al. (PRL, 2002); Koga (PRE, 2004).

2010年ごろ～

高強度レーザー施設の建設ラッシュ (前頁)

→ 実験実施への機運

放射の反作用の準古典論 (semi-classical model)

2010以降の実験

高強度レーザー施設でのNCS/放射の反作用の実験結果が出始めている。 (GeV級電子を利用。)

Sarri, et al. (PRL, 2014); Cole, et al. (PRX, 2018); Poder, et al. (PRX, 2018), Mirzaie, et al. (Nat. Phys., 2024).

放射の反作用の古典論模型 (輻射を伴う古典電子模型)

ここでは、**放射の反作用**という物理過程が
高強度レーザーを用いた研究と関連する理由を
古典論を用いて紹介する。

参考文献となる教科書として、たとえば

- Panofsky-Phillips 電磁気学
- Jackson 電磁気学
- Landau-Lifshitz 場の古典論

がある。

相対論的表記の計量テンソルは以下を使用する：

$$g = (+1, -1, -1, -1).$$



【作用】電子による電磁輻射



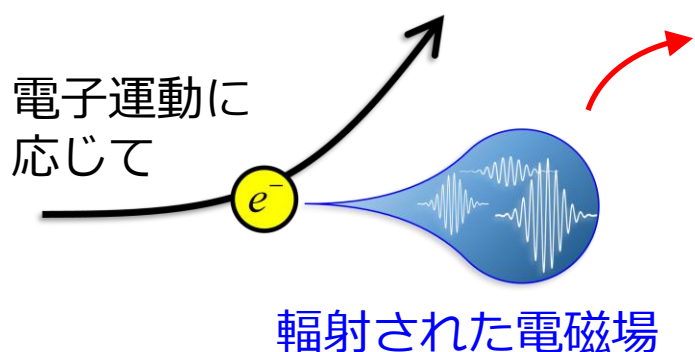
単一電子の電流があるMaxwell方程式

→ (解) Liénard-Wichertの輻射電磁場 (相対論的にもOK)

→ Poyntingベクトル

→ 電磁輻射パワー (単位時間当たりの輻射電磁場エネルギー) 公式

= **Larmorの輻射パワー公式 (電子加速度の二乗に比例)**



$$\begin{aligned}
 \frac{dW}{dt} &= -\frac{e^2}{6\pi\epsilon_0 c^3} \frac{dv_\mu}{d\tau} \frac{dv^\mu}{d\tau} \\
 &= \frac{e^2}{6\pi\epsilon_0 c^2} \frac{\dot{v}^2 - (\mathbf{v}/c \times \dot{\mathbf{v}})^2}{(1 - \mathbf{v}^2/c^2)} \quad (\geq 0) \\
 &\rightarrow \frac{e^2}{6\pi\epsilon_0 c^2} \dot{v}^2 \quad (\text{非相対論的極限 } |\mathbf{v}/c| \rightarrow 0)
 \end{aligned}$$

- 電子速度と加速度が分かれれば、電磁輻射で電子が失う単位時間当たりの総エネルギー (全方位積分) を確定できる。
- 大きな加速度 → 大きな輻射パワー
- 輻射過程における 【作用】は電子の電磁輻射と考えてみる。

放射の【反作用】 1/3

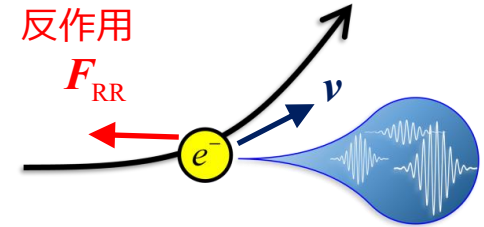
エネルギー保存則から理解する.



Keita Seto (NIFS)
研究部セミナー
28.11.2025
Page 12

電磁輻射エネルギーを外力に書き換える.

$$\int_{t_1}^{t_2} dt \left(-\frac{e^2}{6\pi\epsilon_0 mc^3} \dot{\mathbf{v}}^2 \right) = \int_{t_1}^{t_2} dt \mathbf{F}_{RR} \cdot \mathbf{v} \quad \leftarrow \text{輻射に伴う反作用力が電子に"与える"力積}$$



$$\text{作用 } \frac{dW}{dt} = \frac{e^2}{6\pi\epsilon_0 mc^3} \dot{\mathbf{v}}^2$$

→ Lorentz-Abraham方程式 : $m \frac{d\mathbf{v}}{dt} = -e(\mathbf{E} + \mathbf{v} \times \mathbf{B}) + \frac{e^2}{6\pi\epsilon_0 c^3} \frac{d^2\mathbf{v}}{dt^2}$

放射の反作用力
(radiation reaction force)

→ Lorentz-Abraham-Dirac方程式 (相対論化) :

$$m \frac{dv^\mu}{d\tau} = -eF^{\mu\nu}v_\nu + \frac{e^2}{6\pi\epsilon_0 c^5} \left(\frac{d^2v^\mu}{d\tau^2} v^\nu - \frac{d^2v^\nu}{d\tau^2} v^\mu \right) v_\nu$$

$$= -eF^{\mu\nu}v_\nu + \frac{e^2}{6\pi\epsilon_0 c^3} \frac{d^2v^\mu}{d\tau^2} + \boxed{\frac{e^2}{6\pi\epsilon_0 c^3} \frac{dv_\nu}{d\tau} \frac{dv^\nu}{d\tau}} \frac{v^\mu}{c^2}$$

Lorentz力

係数は"必ず"負の値.
速度の逆方向に働く力
=摩擦力とも.



Larmorの公式
= これがRRの主要項

(次の頁へ)

P. A. M. Dirac, Proc. Roy Soc. A **167**, 148 (1938)
ではもっと美しい導出方法を提案している.

放射の【反作用】 2/3

Landau-Lifshitzの摂動展開近似



Lorentz-Abraham-Dirac方程式 : $m \frac{dv^\mu}{d\tau} = -eF^{\mu\nu}v_\nu - eF_{\text{LAD}}^{\mu\nu}v_\nu$

$$= -eF^{\mu\nu}v_\nu + \frac{e^2}{6\pi\varepsilon_0 c^3} \frac{d^2 v^\mu}{d\tau^2} + \frac{e^2}{6\pi\varepsilon_0 c^5} \frac{dv_\nu}{d\tau} \frac{dv^\nu}{d\tau} v^\mu$$

Schott項



反作用に関する電磁場の
Lorentz力 = 反作用力

→ Schott項の存在による
Run-way solution :

$$\frac{dv^\mu}{d\tau} \propto \exp\left(+\frac{\tau}{e^2 / 6\pi\varepsilon_0 mc^3}\right) \rightarrow \infty$$

非物理的な解
ごく短時間の経過で
電子エネルギーが無限に.

放射の反作用力の部分を摂動展開 (Landau-Lifshitz近似) : $\frac{dv^\mu}{d\tau} \mapsto -\frac{e}{m} F^{\mu\nu} v_\nu$
→ Landau-Lifshitz方程式 : これで数値的に解ける!

$$m \frac{dv^\mu}{d\tau} = -eF^{\mu\nu}v_\nu - \tau_0 ev^\lambda v_\nu \partial_\lambda F^{\mu\nu} + \frac{\tau_0 e^2}{m} F^{\mu\nu} F_{\nu\lambda} v^\lambda + \boxed{\frac{\tau_0 e^2}{m} F^{\alpha\beta} F_{\alpha\gamma} v_\beta v^\gamma} \frac{v^\mu}{c^2}$$

$$(\tau_0 = e^2 / 6\pi\varepsilon_0 mc^3)$$

Larmorの公式の近似
(主要項)



(次の頁へ)

$$P = -m\tau_0 \frac{dv_\mu}{d\tau} \frac{dv^\mu}{d\tau} \mapsto -\frac{\tau_0 e^2}{m} F^{\alpha\beta} F_{\alpha\gamma} v_\beta v^\gamma$$

Landau-Lifshitz, 場の古典論.

放射の【反作用】 3/3

なぜ高強度レーザーで考えることが重要か？



Landau-Lifshitz方程式 $m \frac{dv^\mu}{d\tau} = -eF^{\mu\nu}v_\nu - \tau_0 ev^\lambda v_\nu \partial_\lambda F^{\mu\nu} + \frac{\tau_0 e^2}{m} F^{\mu\nu} F_{\nu\lambda} v^\lambda + \boxed{\frac{\tau_0 e^2}{m} F^{\alpha\beta} F_{\alpha\gamma} v_\beta v^\gamma} \frac{v^\mu}{c^2}$

レーザー強度の値をイメージするために…

主要項

古典電子半径 : $r_e = \frac{3}{2} c \tau_0 = \frac{e^2}{4\pi \epsilon_0 m c^2} = 3 \times 10^{-15} \text{ m}$

電場-磁場換算 : $|E| = c \times |B|$ (SIユニットで+真空中を伝搬するレーザー)

NIFS LHDは
3 T.

- 1 T の磁場なら, $3 \times 10^8 \text{ V/m}$ の電場, レーザー強度 10^{10} W/cm^2 に相当.
- 1 kT の磁場なら, $3 \times 10^{11} \text{ V/m}$ の電場, レーザー強度 10^{16} W/cm^2 に相当.
- 1 MT の磁場なら, $3 \times 10^{14} \text{ V/m}$ の電場, レーザー強度 10^{22} W/cm^2 に相当.

$$\frac{|f_{RR}^\mu|}{|-eF^{\mu\nu}v_\nu|} \approx \frac{c\tau_0}{mc^2} \gamma^2 \sqrt{1-\gamma^{-2}} e|E| \approx \frac{c\tau_0 \times e|E|}{mc^2} \approx \frac{e|E| \times \gamma^2}{0.5 \text{ MeV} / 3 \times 10^{-15} \text{ m}}, \quad \gamma = \frac{1}{\sqrt{1-v^2/c^2}}.$$

放射の反作用力がLorentz力と同程度 → 放射の反作用を無視できない！

= 電子500 MeV ($\gamma = 1000$) & レーザー強度 10^{22} W/cm^2 (実験可能なパラメータ)

参考 :

Schwinger limit

$$\frac{\lambda_{\text{Compton}} \times e|E|}{2mc^2} = \frac{e|E|}{1 \text{ MeV} / 2.4 \times 10^{-12} \text{ m}} = O(1) \Rightarrow \begin{cases} |E| = 1.3 \times 10^{18} \text{ V/m} \quad (4.6 \times 10^{29} \text{ W/cm}^2) \\ |\mathbf{B}| = 4.4 \times 10^9 \text{ T} \end{cases}$$

放射の反作用の 準古典論(semi-classical)模型

Maxwell方程式 $\partial_\mu F^{\mu\nu}(x) = \mu_0 j^\nu(x)$ に対して,

古典的電子電流 :

$$j_{\text{classical}}^\nu(x) = -ec \int_{-\infty}^{\infty} d\tau' \frac{dx(\tau')}{d\tau'} \delta^{(4)}(x - x(\tau'))$$

量子論的電子電流 :

$$j_{\text{quantum}}^\nu(x) = -ec \left\langle \hat{\psi}(x) \gamma^\nu \hat{\psi}(x) \right\rangle_{\text{单一電子}}$$

なので輻射電磁場 $F = (E, B)$ は違う関数になるだろう.

→ 放射の反作用も同様.



準古典論 (semi-classical model) における輻射パワー公式



Keita Seto (NIFS)
研究部セミナー
28.11.2025
Page 16

Larmorの輻射公式を修正

$$\frac{dW_{\text{semi-classical}}}{dt} = q(\chi) \times \frac{dW_{\text{classical}}}{dt}$$

古典論でのLarmorの公式

$$\begin{aligned}\frac{dW_{\text{classical}}}{dt} &= -\frac{e^2}{6\pi\varepsilon_0 c^3} \frac{dv_\mu}{d\tau} \frac{dv^\mu}{d\tau} \\ &= \frac{e^2}{6\pi\varepsilon_0 c^2} \frac{\dot{\mathbf{v}}^2 - (\mathbf{v}/c \times \dot{\mathbf{v}})^2}{(1 - \mathbf{v}^2/c^2)} \quad (\geq 0)\end{aligned}$$

$$\chi = \frac{3}{2} \frac{\hbar k \cdot p(k \cdot x_i)}{m_0^2 c^2} \sqrt{-\left[\frac{d\mathcal{A}_0}{d(k \cdot x)} \right]^2}$$

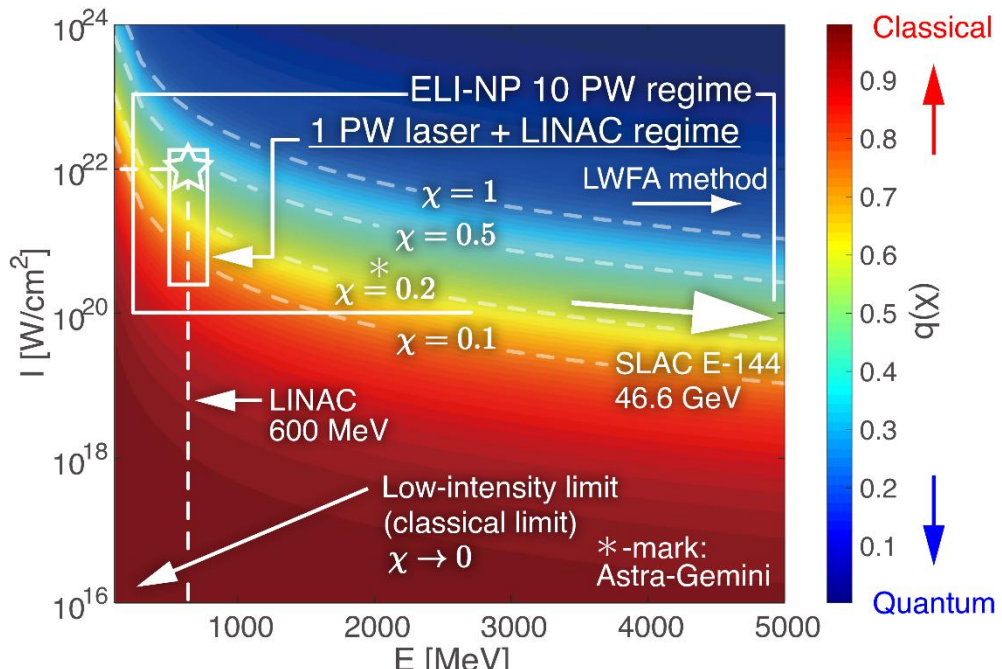
\propto 電子エネルギー $\times \sqrt{\text{レーザー強度}}$

- K. Seto, PTEP **2015**, 103A01 (2015).
- K. Seto, et al., HEDP **38**, 100919 (2021).

補正因子 (特に高強度領域での量子補正)

$$q(\chi) = \frac{9\sqrt{3}}{8\pi} \int_0^{\chi^{-1}} dr_0 r_0 \left[\int_{r_0}^{\infty} K_{5/3}(r) dr + r_0 \chi^2 K_{2/3}(r_\chi) \right]$$

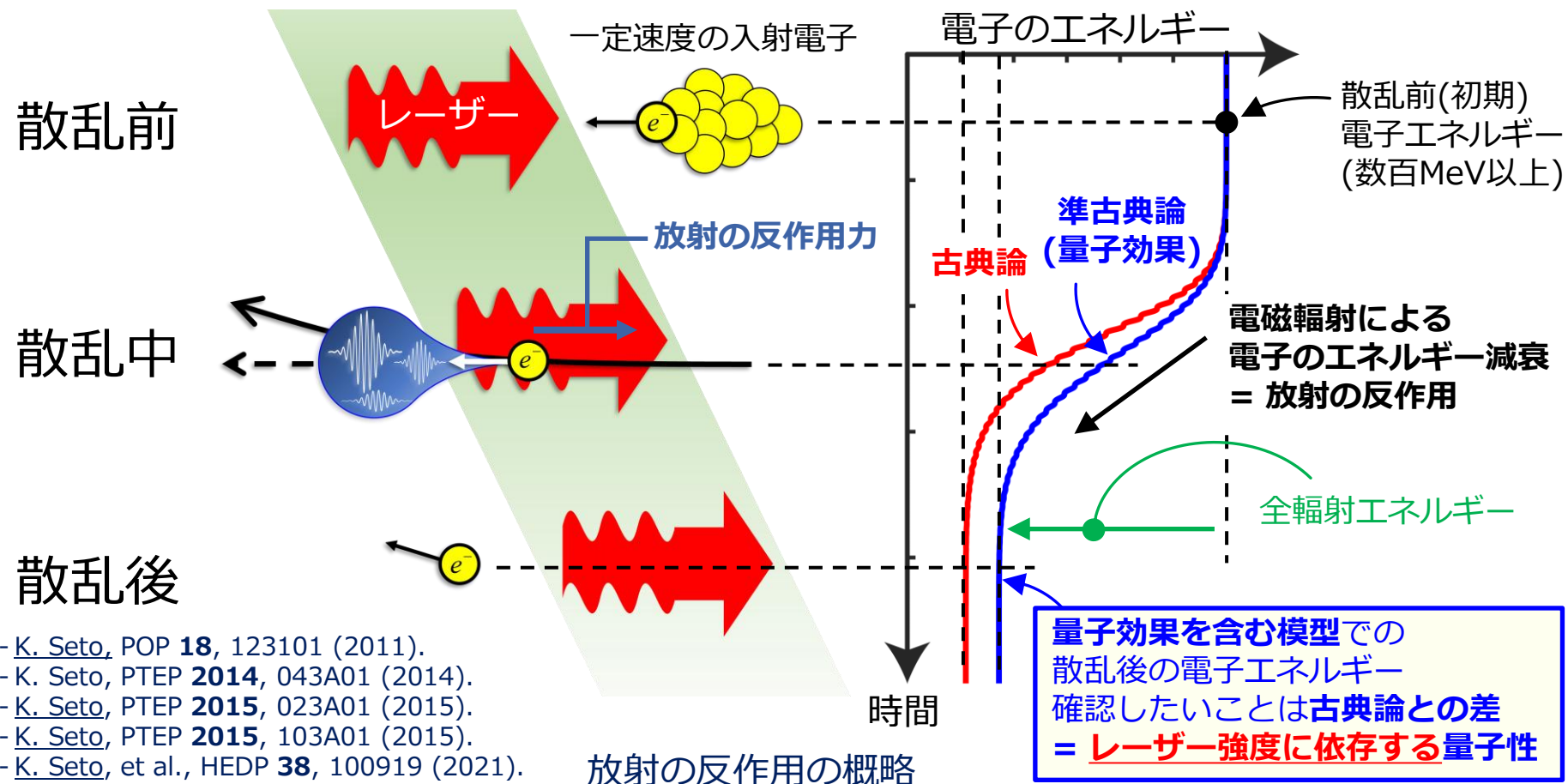
以下のカラープロットは $q(\chi)$ の値。
小さな $q(\chi) < 1$ に興味がある。



= 準古典論 (semi-classical model)



- 前ページで紹介した電磁輻射“作用”に対する電子への反作用の概略は以下の通り.
- 実際に数値を交えた計算結果は続くページで紹介.



- K. Seto, POP **18**, 123101 (2011).
- K. Seto, PTEP **2014**, 043A01 (2014).
- K. Seto, PTEP **2015**, 023A01 (2015).
- K. Seto, PTEP **2015**, 103A01 (2015).
- K. Seto, et al., HEDP **38**, 100919 (2021).

数値計算用のパラメータ

ルーマニア ELI-NP 高強度レーザーパルスを想定.

レーザー電磁場振幅

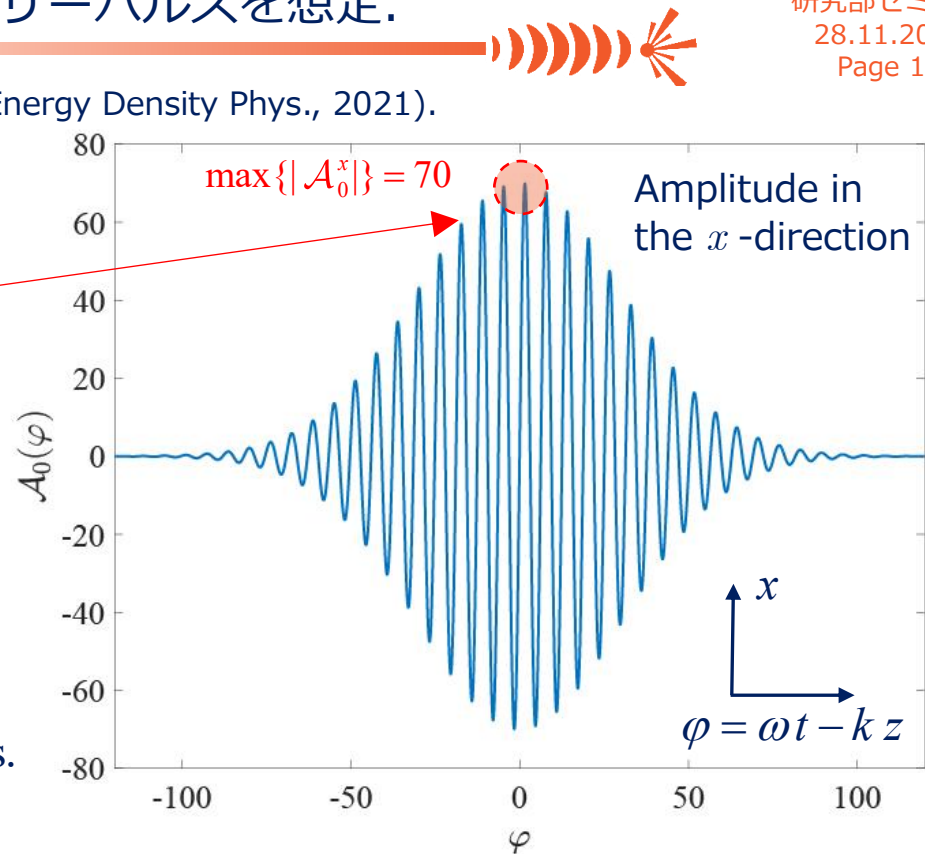
- z 軸正方向に伝搬,
- x 軸方向に直線偏光,
- ピークで $1 \times 10^{22} \text{ W/cm}^2$ 相当,
- 平面波ガウシアンパルスを想定.

$$\mathcal{A}^\mu(\varphi) = \delta_x^\mu \times A \exp\left(-\frac{\varphi^2}{\Delta^2}\right) \sin \varphi,$$

$$\varphi = k_\mu x^\mu = \omega t - k z, \quad \Delta = \frac{\omega T_{\text{FWHM}}}{\sqrt{2 \ln 2}},$$

$$\mathcal{A}_0 = \frac{eA}{m_0 c} = 70, \quad \lambda = 0.82 \text{ } \mu\text{m}, \quad T_{\text{FWHM}} = 22 \text{ fs}.$$

Seto, et al. (High Energy Density Phys., 2021).



自由伝搬する電子の運動量 = 量子散乱がない場合の挙動

電子は初期 600 MeV で z 軸負の方向に伝搬.

→ 電磁輻射が無ければ x - z レーザー振動平面から外に出ない.

$$\frac{dp^\mu}{d\tau} = -\frac{e}{m_0} \mathcal{F}^{\mu\nu} p_\nu \quad \Rightarrow \quad p^\mu(\varphi) = p^\mu(-\infty) + e \mathcal{A}^\mu(\varphi) - \frac{2e\mathcal{A}(\varphi) \cdot p(-\infty) + e^2 \mathcal{A}^2(\varphi)}{2k \cdot p(-\infty)} k^\mu.$$

$p(-\infty) : -z$ direction

$k : +z$ direction

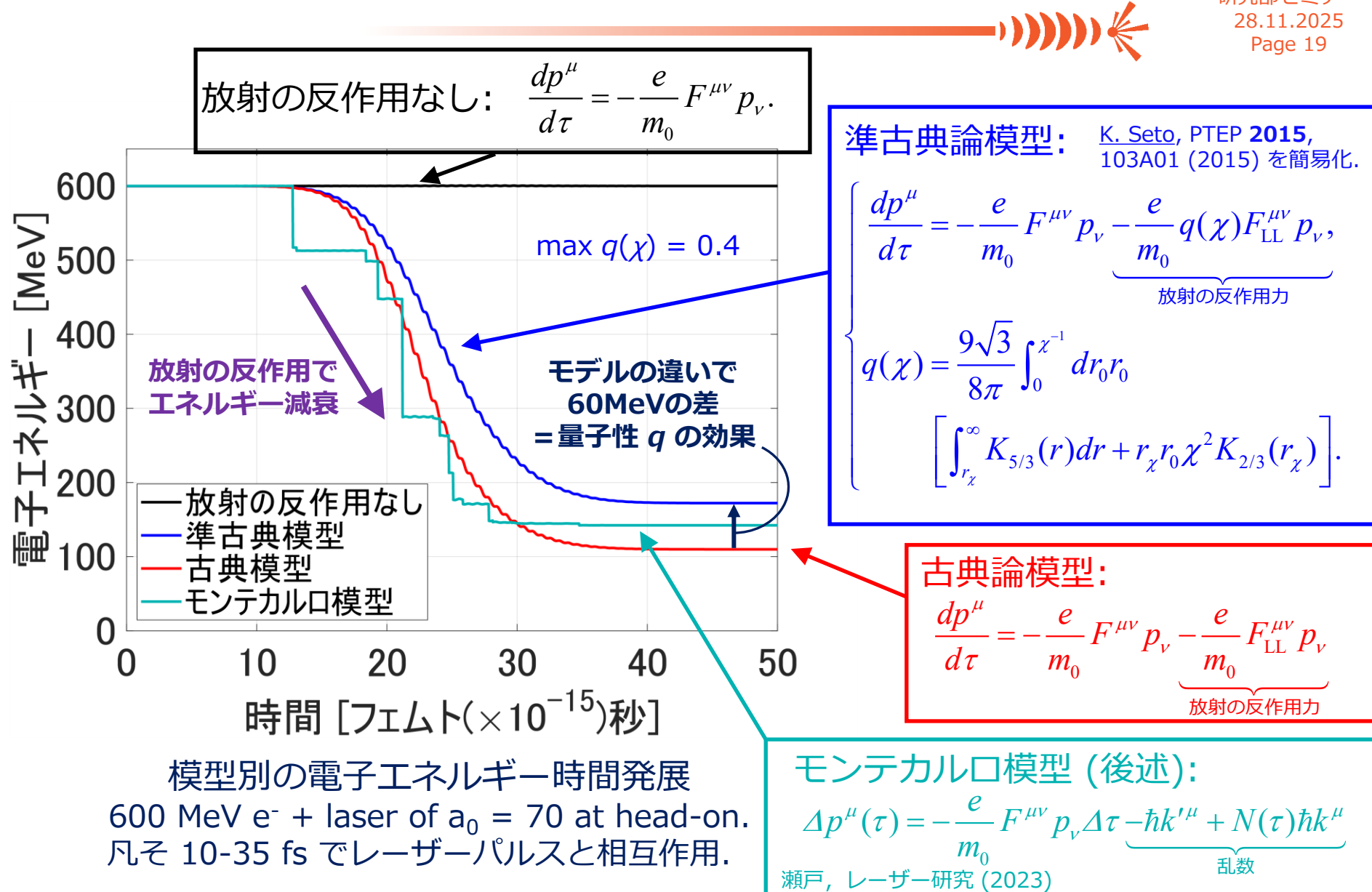
$\mathcal{A} : x$ direction

放射の反作用の主要模型間の差異

600 MeV 電子 + 10^{22} W/cm^2 レーザー



Keita Seto (NIFS)
研究部セミナー
28.11.2025
Page 19



非線形性・量子性のチャート

実験をデザインするために



Keita Seto (NIFS)
研究部セミナー
28.11.2025
Page 20

古典論では放射の反作用が有効か否かに興味があった。

➤ 準古典論の考慮によって、
レーザー強度に依存する
量子論的な修正効果が重
要視されるようになった。

非線形Compton散乱における運動量保存則

衝突前 ($e +$ レーザー光子 N 個)

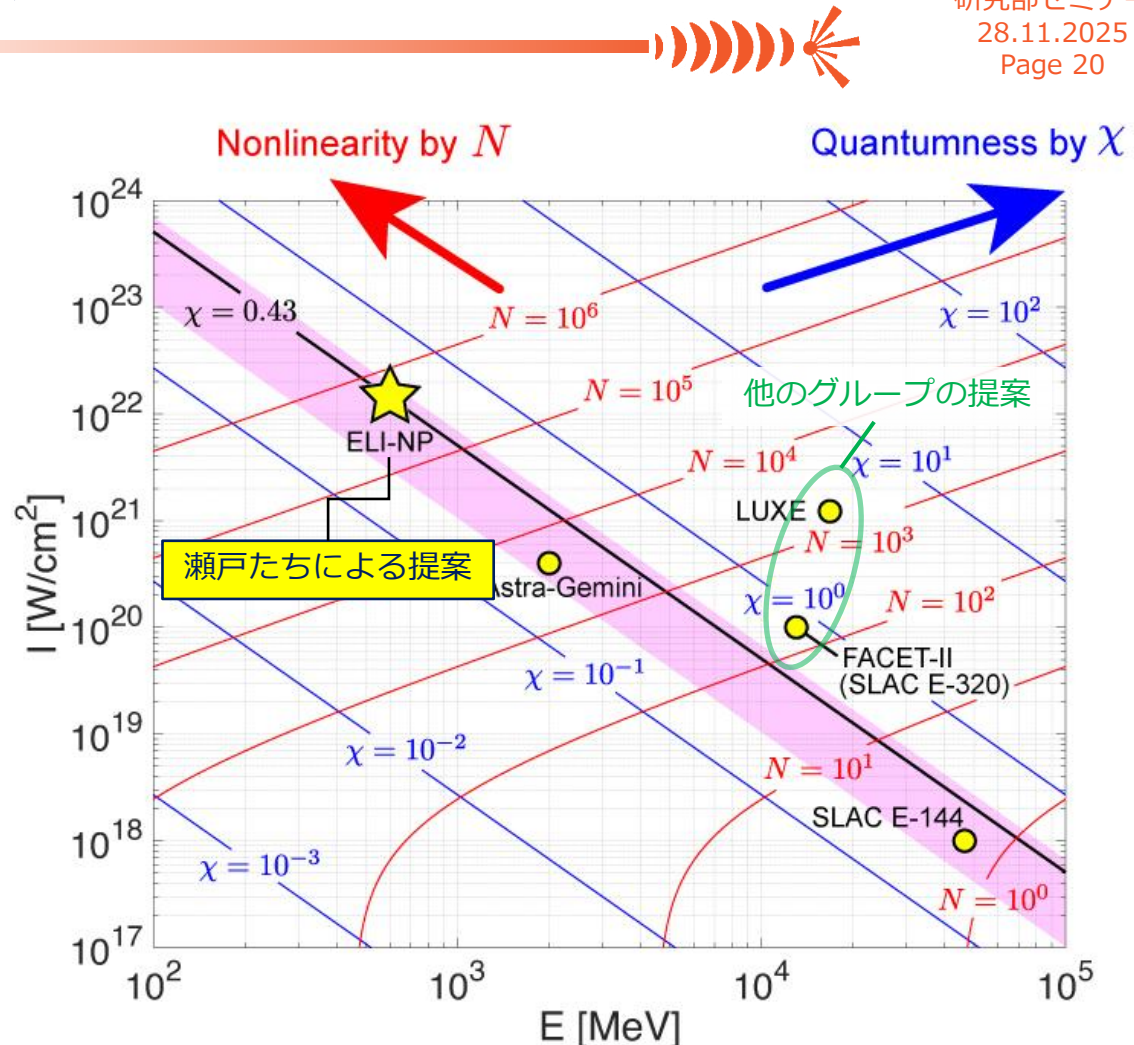
$$p + N\hbar k = p' + \hbar k'$$

↑
衝突後 ($e +$ 輻射光子)

$\chi \propto$ 電子エネルギー (E)

$\times \sqrt{\text{レーザー強度} (I)}$

$$N \approx \frac{\hbar\omega'}{E - \hbar\omega'} \times \frac{m_0^2 c^4 (1 + \langle A_0^2 \rangle)}{2\hbar\omega E (1 - \cos \theta_{in})}$$



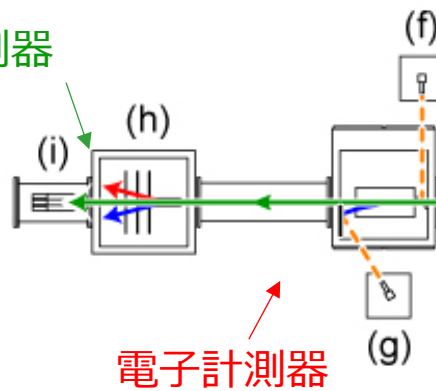
SLAC, Astra-Gemini, ELI-NP実験パラメータなどで
輻射光子エネルギーが $\hbar\omega' = E/2$ となる場合の非線形性と量子性
Figure from Seto, et al. (High Energy Density Phys., 2021).

1 PW 実験案@ELI-NP



Parameters	Values
f number	2.0
Focal length	660 mm
Wave length, λ	820 nm
Focal spot radius, w_0	$1.44 \mu\text{m}$
Pulse duration (FWHM), ΔT_{FWHM}	22 fs
Peak Power, P_0	1 PW
Pulse energy, $P_0 \Delta T_{\text{FWHM}}$	22 J
Repetition rate	1 Hz
Peak intensity, I_0	$3.1 \times 10^{22} \text{ W/cm}^2 \times 0.5$

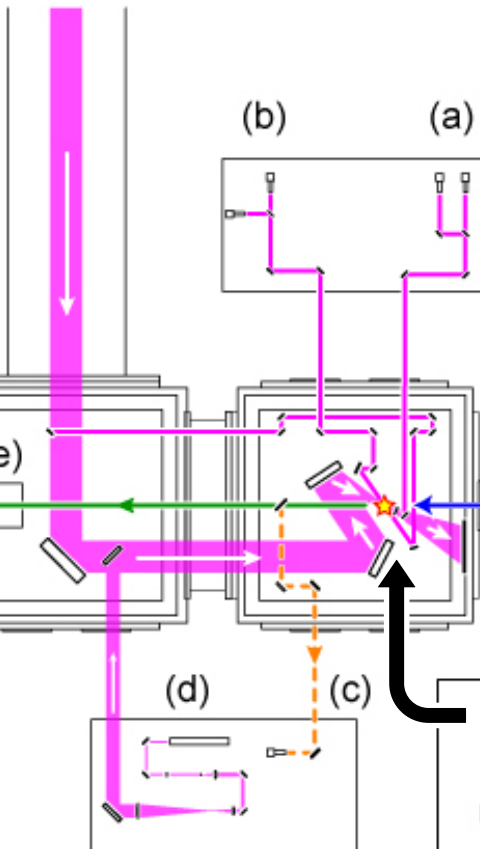
ガンマ線計測器



電子計測器

The realistic intensity
 $\rightarrow 0.5 \times I_0 = 1.6 \times 10^{22} \text{ W/cm}^2$

1PW
laser



4.5×10^6 electrons
can interact.

Parameters	Values
Energy	600 MeV
Number of e^-	10^9
Beam radius (σ)	$15 \mu\text{m}$
Bunch length	$100 \mu\text{m}$

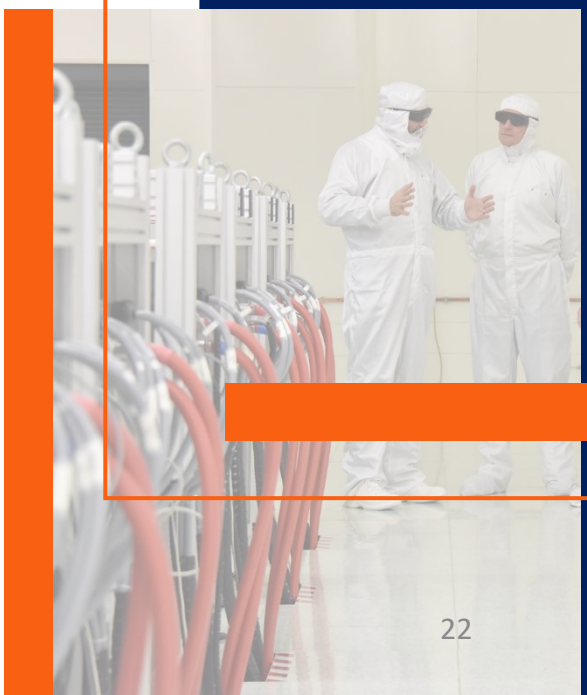
加速器からの電子線

Interaction point

1 PW laser
Electron beam
Interaction point
25 degrees
Collision geometry for RR

非線形Compton散乱

- 放射の反作用をQED散乱として理解するには？
- 電磁場強度に依存する量子散乱



量子電磁力学 (QED)



QED は 電子・陽電子・光子の量子力学模型.

- 電子と陽電子 = スピノル場 $\hat{\psi}(x), \hat{\bar{\psi}}(x) = \hat{\psi}^\dagger(x)\gamma^0$
- 光子 (電磁場) = ベクトル場 $\hat{A}^\mu(x)$

$$\mathcal{L}_{\text{QED}}(x) = \frac{i\hbar c}{2} \hat{\bar{\psi}}(x) \gamma^\mu \vec{\partial}_\mu \hat{\psi}(x) - m_0 c^2 \hat{\bar{\psi}}(x) \hat{\psi}(x) \leftarrow \text{Dirac場の自由伝搬}$$

$$- \frac{1}{2\mu_0} \partial_\mu \hat{A}_\nu(x) \cdot \partial^\mu \hat{A}^\nu(x) \quad \leftarrow \text{電磁場の自由伝搬}$$

$$- qc \hat{\bar{\psi}}(x) \gamma^\mu \hat{\psi}(x) \hat{A}_\mu(x) \quad \leftarrow \text{相互作用}$$

↑ ↗

量子化された Dirac 場
(電子・陽電子) 量子化された 電磁場
(光子・演算子)による相互作用



非線形QED

QED模型に背景電磁場を追加.

- 今の場合背景電磁場 = レーザー電磁場
- 以下のLagrangian密度におけるレーザー電磁場はc数
- レーザー電磁場は電磁場のコヒーレント状態だと考える.

$$\begin{aligned}\mathcal{L}_{\text{nQED}}(x) = & \frac{i\hbar c}{2} \hat{\psi}(x) \gamma^\mu \vec{\partial}_\mu \hat{\psi}(x) - m_0 c^2 \hat{\psi}(x) \hat{\psi}(x) \\ & - \frac{1}{2\mu_0} \partial_\mu \hat{A}_\nu(x) \cdot \partial^\mu \hat{A}^\nu(x) \\ & - qc \hat{\psi}(x) \gamma^\mu \hat{\psi}(x) [\hat{A}_\mu(x) + \mathcal{A}_\mu(x) \hat{\mathbb{I}}]\end{aligned}$$

レーザー電磁場
(注) 演算子ではない！

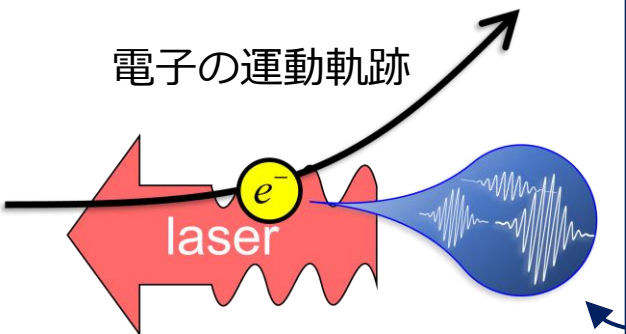
非線形Compton散乱



□ 電子はレーザー電磁場 (Lorentz力) で加速されている.

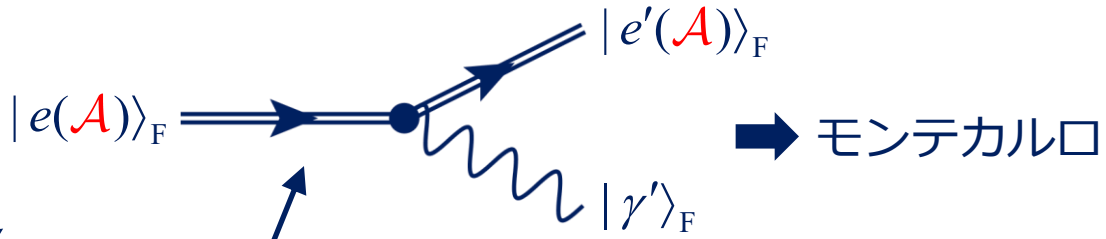
- 運動量保存則 : $p(t) + N\hbar k$ (レーザー光子 N 個) = $p'(t) + \hbar k'$
- 計算は **Furry picture** を利用 : interaction picture の拡張. Furry (Phys. Rev., 1951).
- 散乱確率は **レーザー強度 (レーザー電場の二乗)** に依存.
 - これを見るには **高強度レーザー実験** が必要.

古典論描像-放射の反作用



非線形Compton散乱 (放射の反作用の量子論模型)

Furry picture で



C数のレーザー電磁場 中にあるDirac場を
修正された自由Dirac場とみなす.

$$[\gamma^\mu (i\hbar\partial_\mu + eA_\mu) - m_0c\mathbb{I}] \hat{\psi}^F(x) = 0$$

NCSの理論：
Brown-Kibble (Phys. Rev., 1964),
Nikishov-Ritus (JETP, 1963),
Gol'dman (JETP, 1964) など.

無偏極電子に対する輻射光子の偏光・角度依存NCS確率公式

偏光・角度依存NCS確率公式

タイミング(位相) $\varphi = k \cdot x$ における 輻射光子エネルギー $\hbar k'^0$,
方向 $\hbar k' / \hbar k'^0$, 偏光 λ' を解像できる公式 :

$$\hbar k'^0 \frac{d^4 \mathcal{P}_{\lambda'}}{d^3(\hbar k') d\varphi} = \frac{\alpha}{2\pi\hbar k \cdot \hbar k'} \left[\frac{r_0 \chi (\varepsilon_{k'\lambda'} \cdot p)^2}{\hbar k' \cdot p} + 2\delta_{\lambda'\sigma} + r_0 r_\chi \chi^2 \right] \mathcal{R} \text{Ai}(\mathcal{R})$$

$$\begin{cases} \chi = \frac{3}{2} \frac{\hbar k \cdot p \times \sqrt{-(dA_0 / d\varphi)^2}}{m_0^2 c^2}, & r_0 \chi = \frac{\hbar k \cdot \hbar k'}{\hbar k \cdot p} \approx \frac{\hbar \omega'}{m_0 c \gamma}, \\ r_\chi \chi = \frac{r_0 \chi}{1 - r_0 \chi} \approx \frac{\hbar \omega'}{m_0 c \gamma - \hbar \omega'}, & \mathcal{R} = 2 \frac{\hbar k' \cdot p}{m_0^2 c^2 r_0 \chi} \left(\frac{3}{2} r_\chi \right)^{2/3}. \end{cases}$$

Locally constant field approx. (LCFA)

ある電子のおかれたレーザー中の場所で
局所的に $dA_0 / d\varphi$ (電場・磁場)を定数で近似.
従って、それ以上の階数の導関数をゼロにする.
→ Airy関数がこれで出てくる.

King-Tang (PRA, 2020);
Seipt-King (PRA, 2020).



散乱に必要な時間(位相)

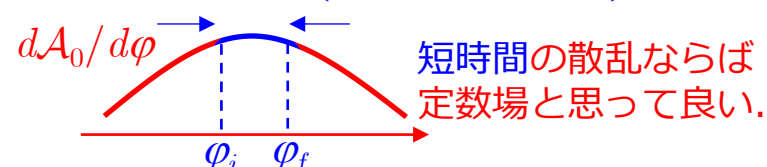
NCSの特徴①

高強度電磁場環境では,
ごく短時間でNCSが生じる.
(φ_i から φ_f への伝搬中に)
NCSを1回起こす確率

$$= \int_{\varphi_i}^{\varphi_f} d\varphi \int d^3(\hbar k') \sum_{\lambda'} \frac{d^4 \mathcal{P}_{\lambda'}}{d^3(\hbar k') d\varphi} \approx (\varphi_f - \varphi_i) \sqrt{-(dA_0 / d\varphi)^2}$$

が1のときに1回NCS発生.

$$\varphi_f - \varphi_i = O\left(\frac{1}{\sqrt{-(dA_0 / d\varphi)^2}}\right) \ll 1$$



無偏極電子に対する輻射光子の 偏光・角度依存NCS確率公式

偏光・角度依存NCS確率公式

タイミング(位相) $\varphi = k \cdot x$ における 輻射光子エネルギー $\hbar k'^0$,
方向 $\hbar k' / \hbar k'^0$, 偏光 λ' を解像できる公式 :

$$\hbar k'^0 \frac{d^4 \mathcal{P}_{\lambda'}}{d^3(\hbar k') d\varphi} = \frac{\alpha}{2\pi\hbar k \cdot \hbar k'} \left[\frac{r_0 \chi (\varepsilon_{k'\lambda'} \cdot p)^2}{\hbar k' \cdot p} + 2\delta_{\lambda'\sigma} + r_0 r_\chi \chi^2 \right] \mathcal{R} \text{Ai}(\mathcal{R})$$

偏光 (λ') 依存性 輻射プロファイル

$$\chi = \frac{3}{2} \frac{\hbar k \cdot p \times \sqrt{-(dA_0 / d\varphi)^2}}{m_0^2 c^2},$$

$$r_0 \chi = \frac{\hbar k \cdot \hbar k'}{\hbar k \cdot p} \approx \frac{\hbar \omega'}{m_0 c \gamma},$$

$$r_\chi \chi = \frac{r_0 \chi}{1 - r_0 \chi} \approx \frac{\hbar \omega'}{m_0 c \gamma - \hbar \omega'},$$

$$\mathcal{R} = 2 \frac{\hbar k' \cdot p}{m_0^2 c^2 r_0 \chi} \left(\frac{3}{2} r_\chi \right)^{2/3}.$$

King-Tang (PRA, 2020);
Seipt-King (PRA, 2020).



確率がピーク値になるなら…

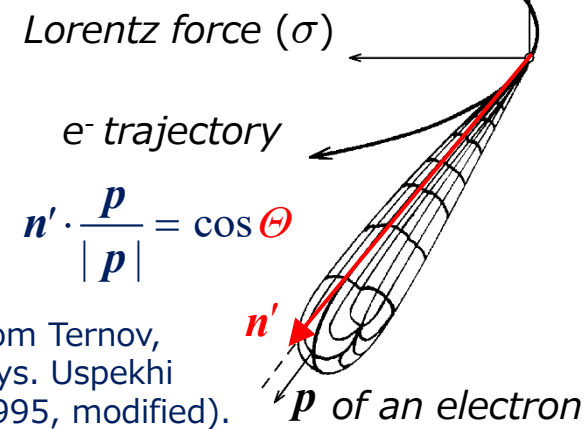
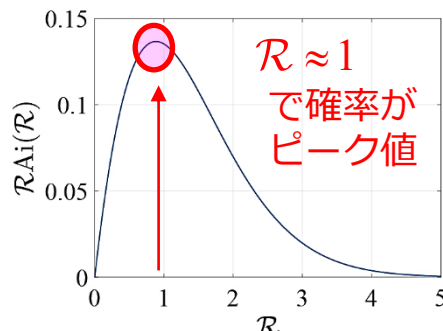
Θ : 電子と輻射光子
の運動量のなす角

$$\mathcal{R} \approx 1$$

$$\Rightarrow \Theta \approx \frac{\chi^{1/3}}{\gamma} \left(\frac{1 - \hbar \omega' / E}{\hbar \omega' / E} \right)^{1/3}$$

$$\propto \frac{1}{\gamma} \quad \begin{array}{l} \text{放射光のような} \\ \text{ビーム広がり角} \end{array}$$

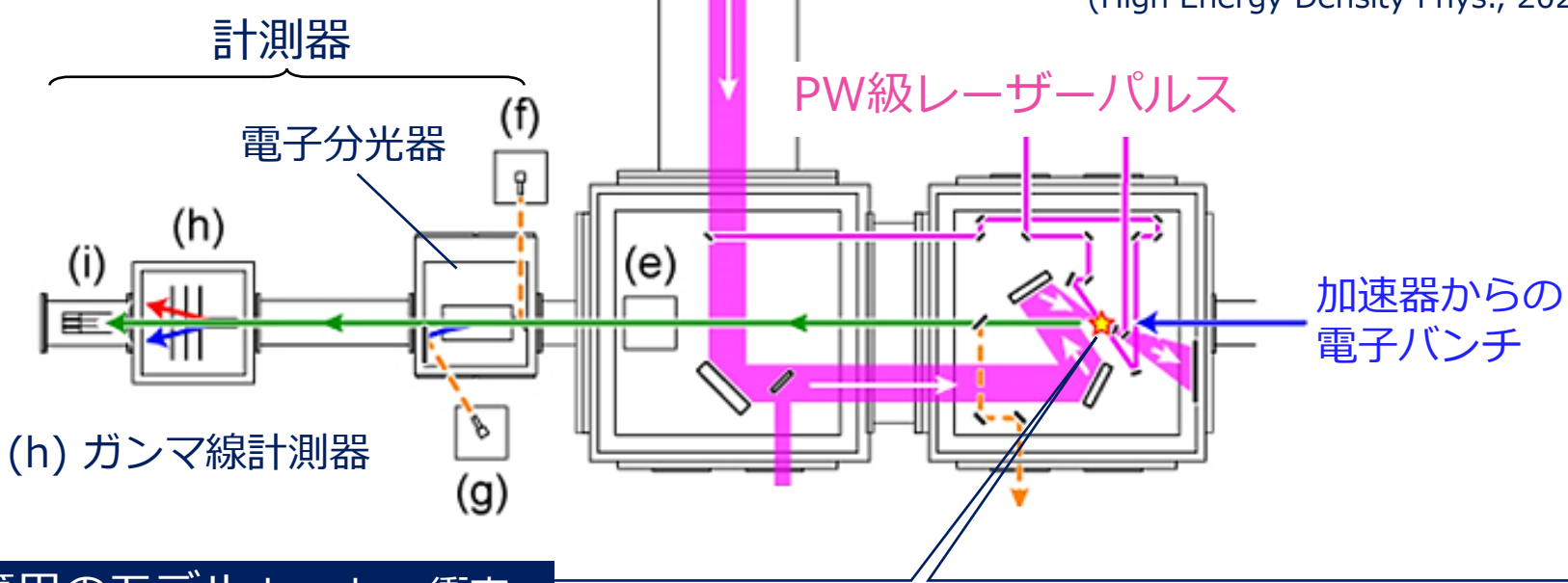
NCSの特徴②
超相対論的電子なら
超前方に光子輻射する。



数値計算の準備

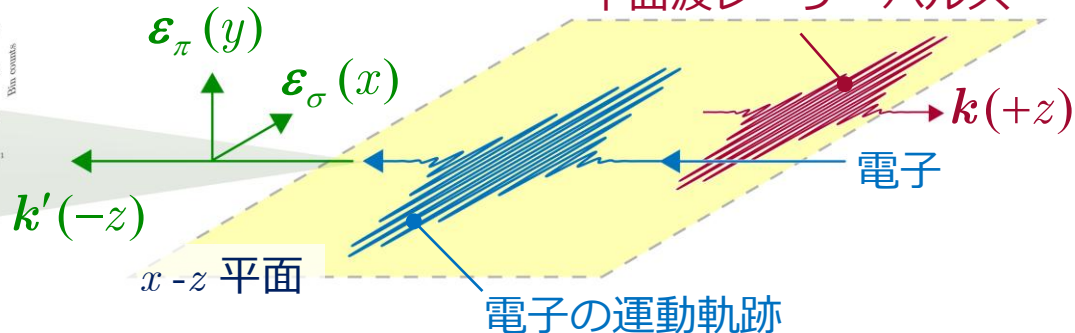
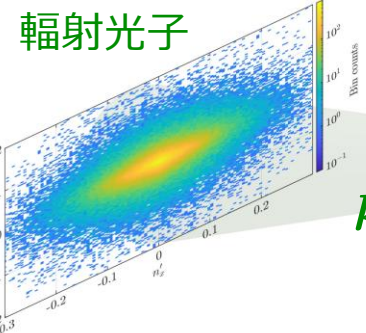
ルーマニア ELI-NP 高強度レーザーパルスを想定.

実験案@ELI-NP (ルーマニア)



計算用のモデル head-on衝突

散乱光子について
 ① エネルギー, $\hbar\omega'$?
 ② 伝搬方向, n' ?
 ③ 偏向, λ' ?
 → モンテカルロ計算



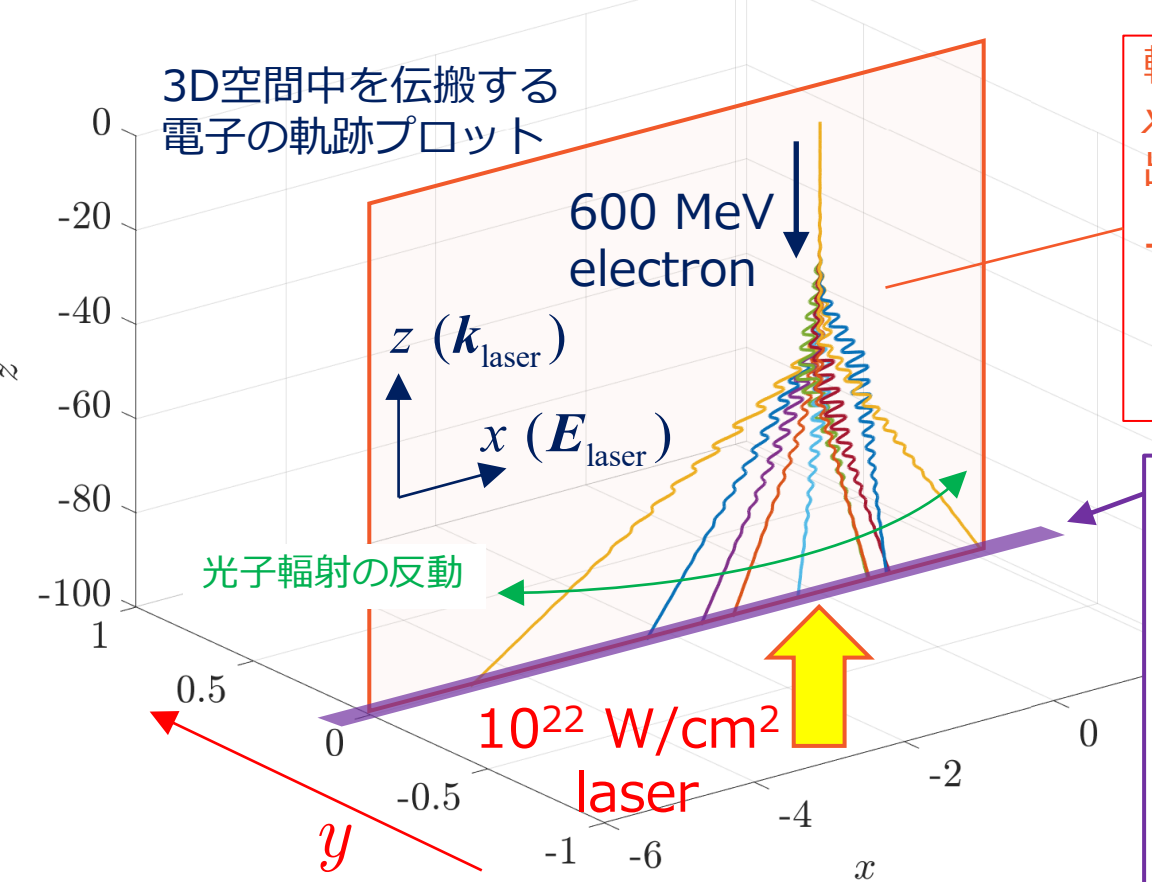
モンテカルロ計算の先行研究

(散乱込み) 電子の運動方程式

Ridgers, et al. (J. Comp. Phys., 2014).

$$\Delta \mathbf{p} = -e(\mathbf{E}_{\text{laser}} + \mathbf{v} \times \mathbf{B}_{\text{laser}}) \Delta t - \frac{\hbar \omega'}{c} \mathbf{n}' \Leftarrow \begin{cases} \text{光子エネルギー by } d^2 \mathcal{P}_{\text{sum}} / d(\hbar \omega') d\phi, \\ \text{光子の伝搬方向 by } \delta^3(\mathbf{n}' - \mathbf{p}/|\mathbf{p}|). \end{cases}$$

電子が超相対論的ならば…



輻射が無い場合、電子の運動軌跡は
 x - z 平面(レーザー振動面)から外には
出ない。

→ 光子輻射の反作用があつても x - z 平面から外には出ない。

$$\text{光子分布} \propto \delta(n' - p/|p|) \propto \delta(n'_y).$$

散乱・伝搬後の光子と電子はすべてこの紫のラインを通過する。

y方向の広がりは?

超相対論的でない場合は？

4

角度分布公式でモンテカルロ計算

開発コードによる計算結果： 光子の偏光と電子の空間広がり

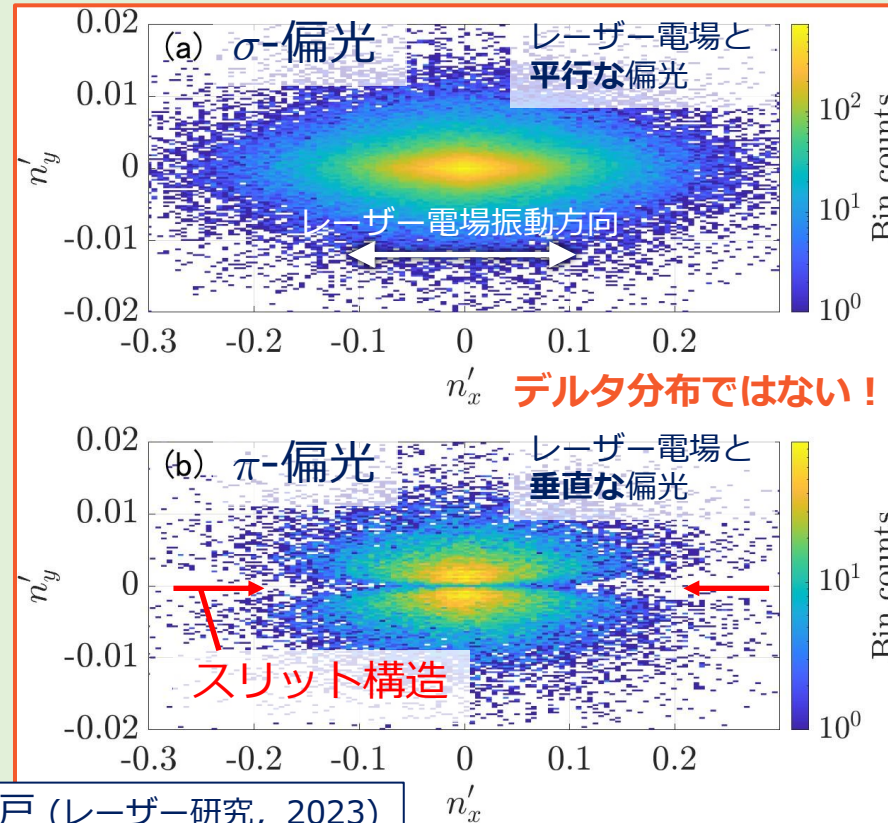
光子の角度分布

先行研究ではy方向に広がり無し

$$\delta^3(n' - p / |p|) \propto \delta(n'_y)$$

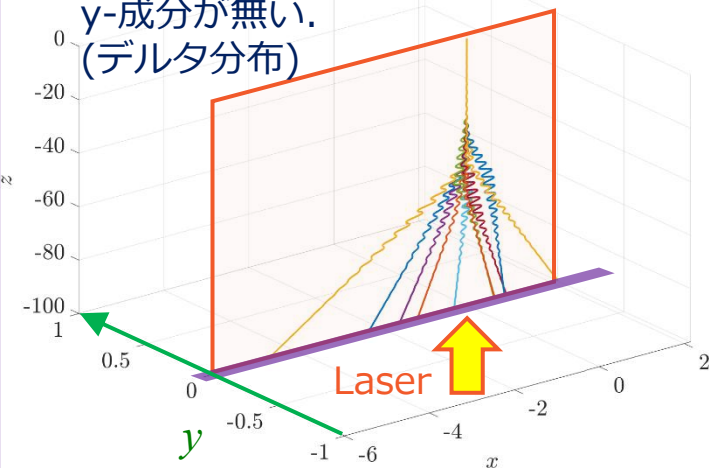
この発表での手法

10⁴ 回の試行計算 → 平均 23 光子/レーザー照射.

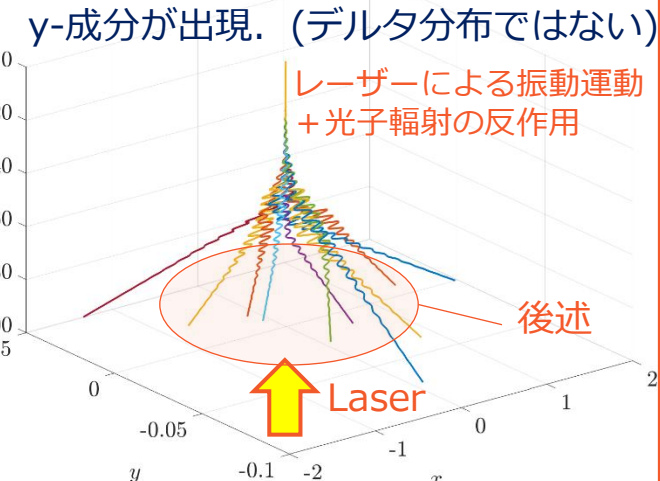


電子の運動

y-成分が無い。
(デルタ分布)



update



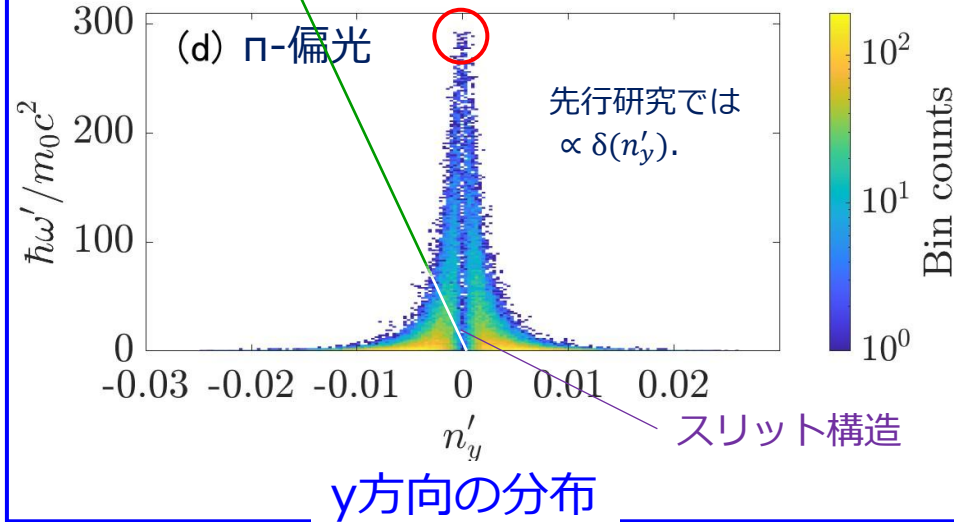
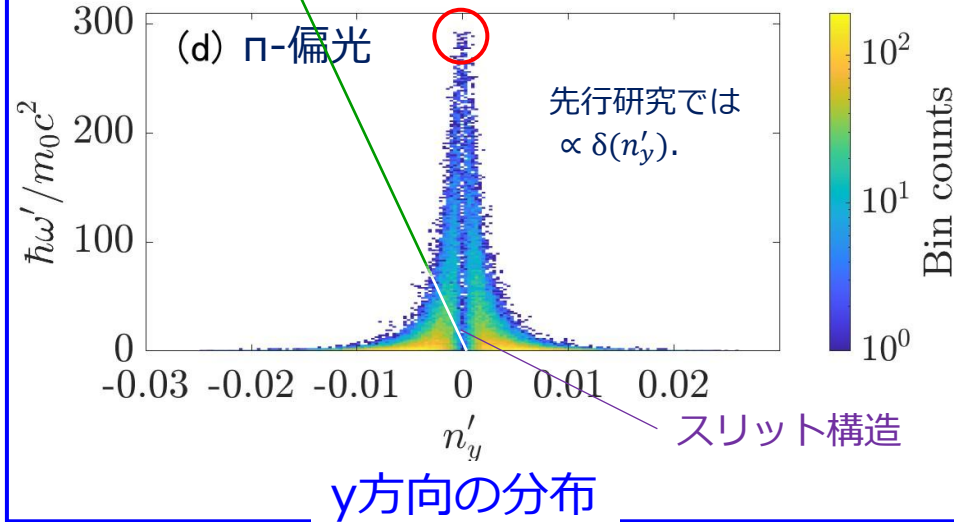
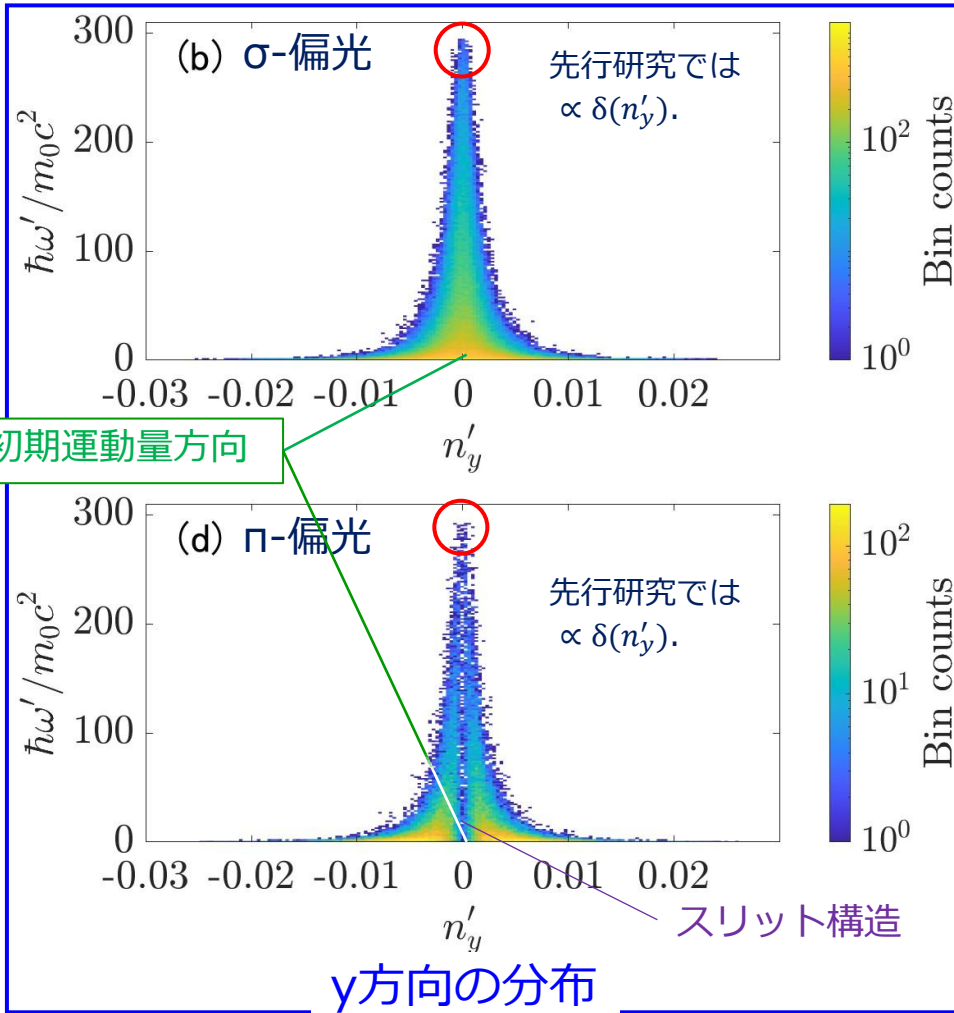
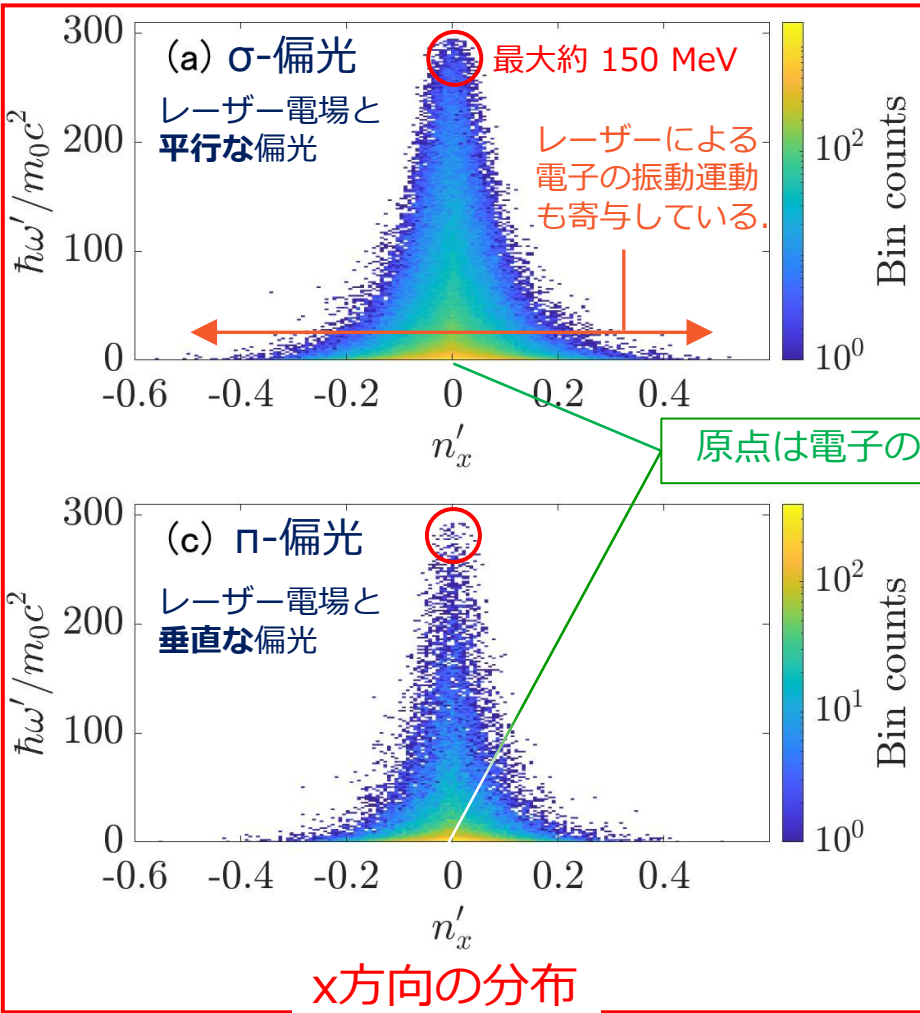
開発コードによる計算結果： 光子のエネルギー・角度スペクトル



Keita Seto (NIFS)
研究部セミナー
28.11.2025
Page 31

エネルギー $\hbar\omega'$ を (n'_x, n'_y) の関数とみなしたときの角度スペクトル。
 $n' = (n'_x, n'_y, n'_z)$ は輻射光子の k' を規格化したベクトル。

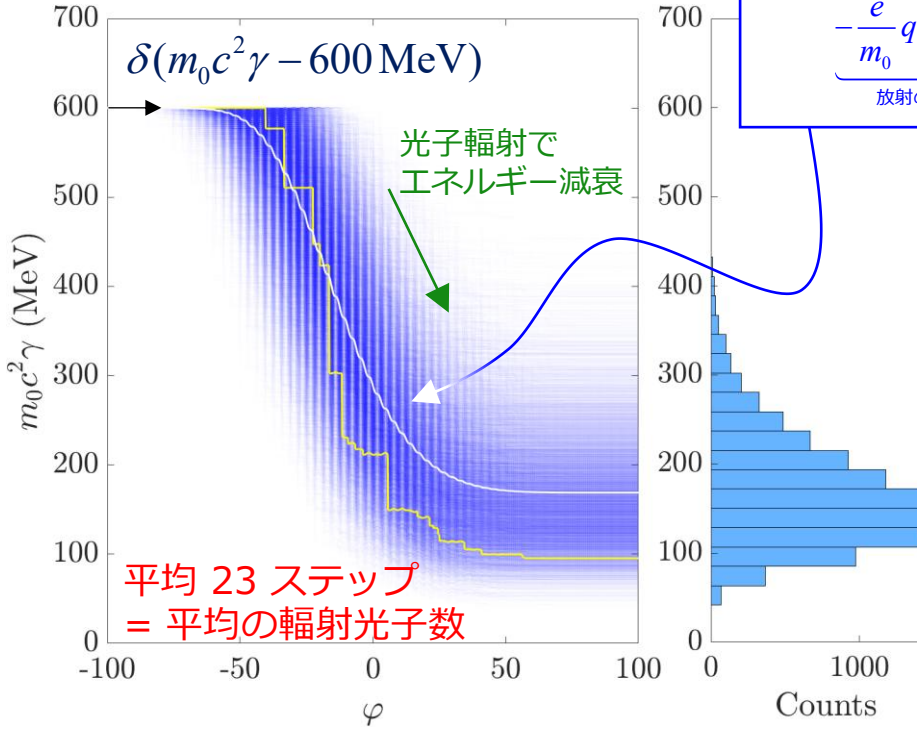
瀬戸 (レーザー研究, 2023)



開発コードによる計算結果： 電子エネルギー発展と運動量広がり

光子の運動量広がりが電子の運動量広がりを生む。

Blue curves: 10^4 MC samples
Yellow curve: MC samples
White curve: average

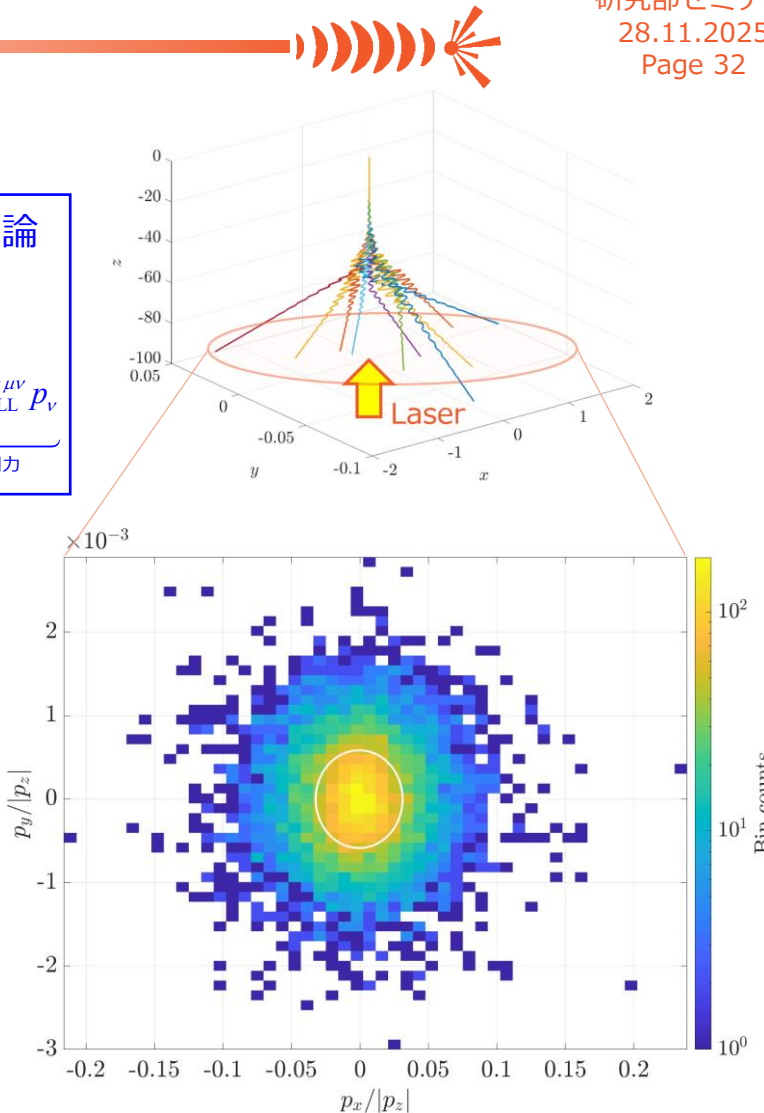


平均→準古典論

$$\frac{dp^\mu}{d\tau} = -\frac{e}{m_0} F^{\mu\nu} p_\nu$$

$$-\frac{e}{m_0} q(\chi) F_{LL}^{\mu\nu} p_\nu$$

放射の反作用力



電子の運動エネルギー発展と
レーザーパルス通過後の電子エネルギースペクトル

散乱電子の運動量広がり

将来の非線形QED実験案



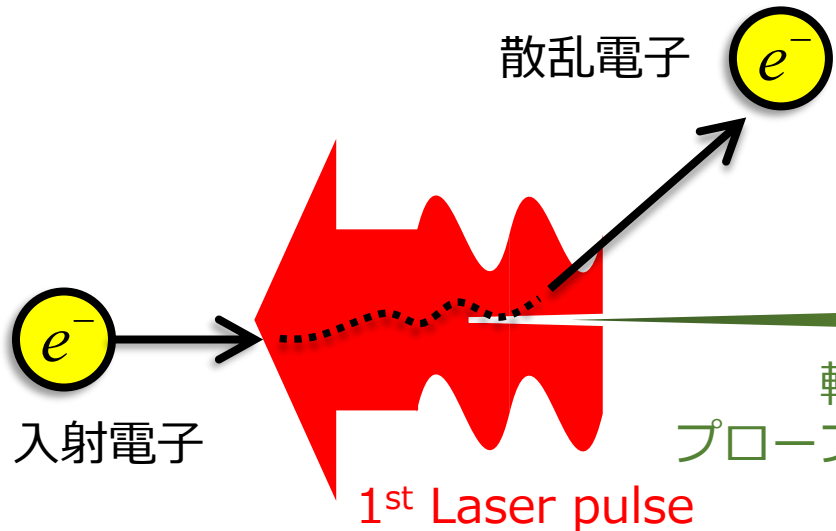
QED真空複屈折を計測する実験案

1st stage : 1つ目のレーザーパルスで非線形Compton散乱で高エネルギー光子を作る.

2nd stage : 2つ目のレーザーパルスを集光して真空を揺らがせる.

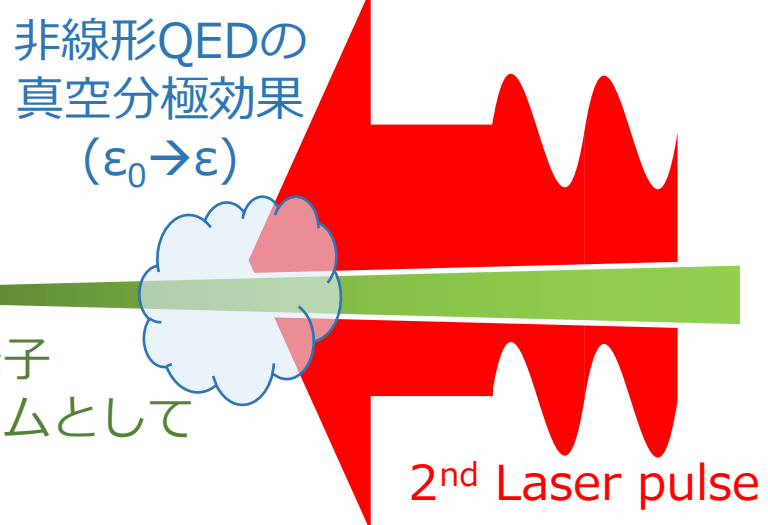
1st stageで作った光子をその領域に通すと、偏光が回転する.

1st stage: 非線形Compton散乱
(ここまで説明してきた散乱過程)



[600 MeV e⁻ case] K. Seto, et al., HEDP **38**, 100919 (2021); 濑戸, レーザー研究 **51**(5), 337-341 (2023).

2nd stage: 真空複屈折



For example, S. Gales, et al., Rep. Prog. Phys. **81**, 094301 (2018).

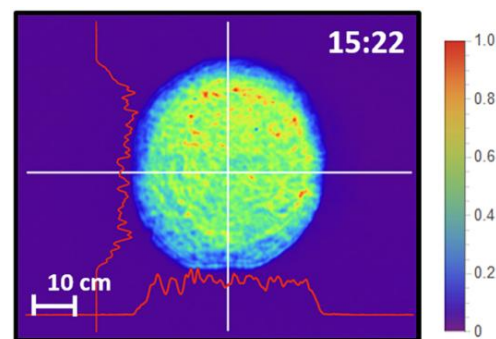
まとめ



- 古典・準古典論的な電子の放射の反作用について紹介した.
- 非線形QEDの散乱について簡単に紹介した.
 - 非線形QEDは**量子化された電磁場と古典的レーザー電磁場が共存する系**.
 - レーザー電磁場をコヒーレント状態の電磁場であるとした.
- 無偏極電子の非線形Compton散乱について.
 - レーザー電磁場を平面波パルスと仮定.
 - Locally Constant field approximation (LCFA) を採用.
 - ◆ 高強度電磁場で有効な確率公式に.

【将来展望】

- 平面波でない高強度レーザーパルスでも計算可能なモンテカルロ計算は?
 - 実際の高強度レーザーは有限な断面プロファイルをもち**平面波ではない**(右図).
- LCFAを使用しなくてよい手法は?
 - レーザーパルスの立ち上がり時に**LCFAが破綻する低-中レーザー強度領域**がある.
 - LCFAがOKな高レーザー強度へどう接続するか?



ELI-NP 10 PWパルス断面プロファイル
Radier et. al., (High Power Laser Sci. Eng., 2022)より.



Thank you!